

# بررسی تأثیر بازگشت گازهای خروجی به داخل محفظه‌ی احتراق بر عملکرد موتور اشتعال تراکمی سوخت همگن

مهدي طالعی \* (دانشجوی دکتری)

صمد جعفره‌دار (استاد)

شهرام خلیل‌آریا (استاد)

مهدي منصوری (دانشجوی دکتری)

دانشکده فنی و مهندسی، دانشکده ارومه

در کار حاضر از یک مدل دینامیک سیالات محاسباتی<sup>۱</sup> به منظور تجزیه و تحلیل عملکرد موتور اشتعال تراکمی سوخت همگن (HCCI)<sup>۲</sup> استفاده شده است. در راستای اعتباربخشی این مدل، از تابیخ تجربی حاصل از موتور نمونه Dutez با سوخت متان و توزیق سوخت ثانویه دیزل به داخل سیلندر در CAD<sup>۳</sup> ۲۷° استفاده شده است. بررسی‌ها نشان می‌دهد که تطبیق قابل قبولی بین مدل و تابیخ تجربی وجود دارد. تابیخ تحقیقات حاکی از آن است که با افزایش میزان گازهای برگشتی به داخل سیلندر، فشار و متوسط دماهای داخل سیلندر کاهش می‌یابد. با افزایش EGR<sup>۴</sup> نیز میزان تولید NO<sub>x</sub> کاهش می‌یابد. همچنین با افزایش درصد EGR میزان دودی تولید شده افزایش می‌یابد که این عملکرد ناشی از تولید احتراق ناقص است. افزایش EGR موجب کاهش میزان تولید CO<sub>2</sub> شد، و در همین راستا با افزایش درصد EGR میزان CO افزایش می‌یابد. در ادامه تغییرات دما، NO<sub>x</sub> تولیدی، و اکسیژن شرکتکننده در واکنش‌های داخل سیلندر نیز مورد بررسی قرار می‌گیرد.

talei\_mehdi@yahoo.com  
s.jafarmadar@urmia.ac.ir  
sh.khalilarya@urmia.ac.ir  
mehdimansury@yahoo.com

وازگان کلیدی: اشتعال تراکمی سوخت همگن، EGR، فشار سیلندر، تأخیر در اشتعال.

## ۱. مقدمه

گونه‌های شیمیایی بیشتر مشهود است، درخصوص هر دو روش یادشده مطالعات گسترده‌بی انجام شده است.<sup>[۵]</sup> روش اول با تکیه بر به دام انداختن مقداری از گازهای خروجی با سازوکار بسته شدن زودهنگام سوپاپ خروجی عمل می‌کند، در حالی که در روش دوم گازهای خروجی در نقطه‌ی مرگ بالاتر از محفظه‌ی احتراق خارج می‌شود، اما در ادامه مقداری از این گازهای خروجی از طریق یک لوله ثانویه به راهگاه ورودی منتقل، و در طول مرحله‌ی مکش همراه با مخلوط تازه وارد محفظه احتراق می‌شود.

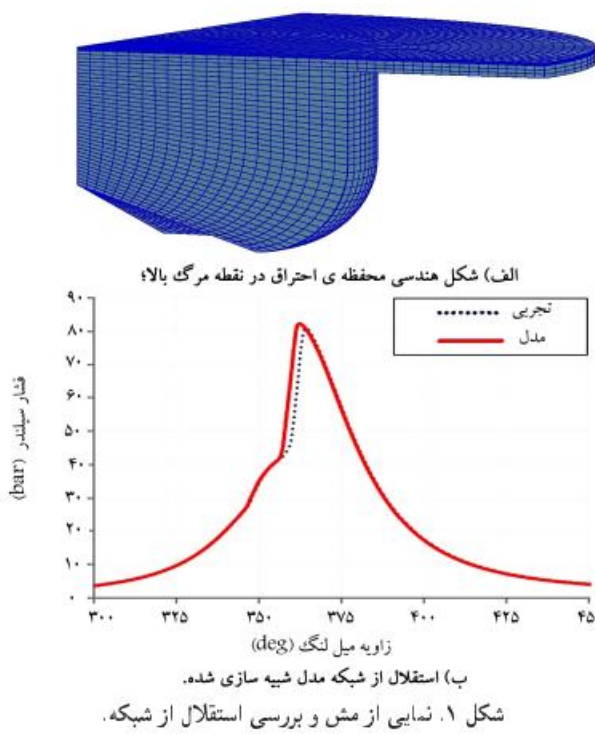
تحقیقات نشان می‌دهد که استفاده از EGR نیاز به پیش‌گرمایش هوای ورودی را حذف می‌کند و افزایش میزان گازهای داغ حاصل از احتراق در داخل سیلندر موجب ایجاد خودآشعلای زودهنگام می‌شود. برخی از محققین با انسداد گلوگاه راهگاه خروجی و با افزایش فشار در پشت سوپاپ خروجی سازوکار EGR را عملیاتی می‌سازند.<sup>[۶]</sup>

با تمام تحقیقات صورت‌گرفته روی موتورهای CI و SI، به نظر می‌رسد این موتورها با شرایط ایده‌آل کارکرد موتور احتراق داخلی فاصله‌ی زیادی دارند، لذا محققین

امروزه تمامی صنایع با محدودیت‌های شدید زیستمحیطی مواجه‌اند. صنایع مولد موتورهای احتراق داخلی نیاز این امر مستثنی نیستند ولذا همواره به دنبال روش‌هایی برای افزایش کارایی و کاهش آلاینده‌های تولیدی هستند. بازگشت گازهای خروجی حاصل از احتراق (EGR) یکی از روش‌هایی است که مورد توجه مهندسین و محققین قرار گرفته است. محققین با بررسی تأثیر EGR بر موتورهای احتراق متراکم (CI)<sup>۷</sup> و موتورهای احتراق جرقی<sup>۸</sup> SI به تابیخ قابل توجهی دست یافته‌اند.<sup>[۱-۲]</sup> روش ایجاد EGR با دو روش متفاوت امکان‌پذیر است:

۱. به دام انداختن گازهای خروجی از محفظه‌ی احتراق به وسیله‌ی تغییرات زمان بندی سوپاپ خروجی.
۲. بازگرداندن گازهای خروجی از اگزوژ به داخل سیلندر البته تابیخ حاصل از دو روش فوق شاید متفاوت باشد که این تفاوت در دما و

\* نویسنده مسئول  
تاریخ: دریافت ۲۳/۰۷/۱۳۹۳، اصلاحیه ۱/۱۳۹۴، پذیرش ۱۰/۰۶/۱۳۹۴.



دینامیک سیالات محاسباتی (CFD) از موتور دیزلی Deutz استفاده شده است. هدف از این کار بررسی راه‌های ارتقاء کیفیت عملکرد موتور احتراق تراکمی Deutz است. مدل به کار رفته در این کار همانند مدل مورد استفاده در مطالعات دیگر محققین<sup>[۱۸]</sup> پیش‌بینی مناسبی از شرایط حاکم بر احتراق HCCI ارائه می‌دهد. در این کار برای اولین بار تأثیر EGR بر عملکرد موتور Deutz با احتراق HCCI سوخت متابن همراه با تزریق مستقیم سوخت ثانویه دیزل به داخل سیلندر، مطالعه شده است.<sup>[۱۹]</sup> برای تبدیل عملکرد موتور دیزلی به یک موتور HCCI ابتدا این موتور در محیط ANSYS طراحی شده و سپس متحرک‌سازی آن به وسیله ابزار AVLFire Workflow manager در AVLFire نمود. این مطالعه نتایجی از تجزیه و تحلیل اثر EGR بر افزایش تولید یون‌ها ارائه می‌دهد. این تحقیقات نشان می‌دهد که نزدیکی مركز محفظه ای احتراق و در میان گازهای داغ اگزوژن و مخلوط تازه ورودی صورت می‌گیرد.<sup>[۲۰]</sup>

سوخت همگن (HCCI) معرفی کردند. تحقیقات فواون انجام شده درخصوص مقایسه عملکرد موتورهای HCCI با موتورهای CI و SI در شرایط کاری مختلف نشان‌گر عملکرد مناسب موتورهای HCCI نسبت به دو روش CI و SI است.<sup>[۲۱]</sup> محققین ثابت کردند که با اعمال تغییرات در نزدیکی احتراق EGR می‌توان احتراق را کنترل کرد.<sup>[۲۰]</sup> انجام تحقیقات بیشتر محققین را به این نتیجه رهنمون ساخت که آثار حرارتی و شیمیایی گوناگونی در احتراق HCCI و گونه‌های فعلی در گازهای خروجی از اگزوژن ایجاد می‌کند که می‌تواند به بهبود فرایند HCCI کمک کند.<sup>[۲۲]</sup> با این حال، نتایج متفاوتی از روش‌های مختلف EGR برای زمان احتراق فشار مؤثر متوسط (IMEP)<sup>[۴]</sup> بازده احتراق و بازده ناخالص به دست می‌آید.<sup>[۲۳]</sup> در روش EGR گازهای خروجی از لوله اگزوژن‌گرفته شده و به وسیله یک لوله ثانویه دوباره به مجرای ورودی تزریق و با هوای تازه مخلوط می‌شود. این لوله ثانویه مجهز به عایق حرارتی است تا در طول مسیر گازهای داغ حرارت خود را از دست ندهند؛ زیرا کاهش دمای گازهای برگشتی موجب می‌شود که سیستم EGR تأثیری جز رقیق‌سازی مخلوط نداشته باشد. با بررسی و عکس‌برداری از تأثیرات سیستم EGR بر احتراق HCCI مشخص شد که احتراق در این شرایط در نزدیکی مرکز محفظه ای احتراق و در میان گازهای داغ اگزوژن و مخلوط تازه ورودی صورت می‌گیرد.<sup>[۲۴]</sup>

در موتورهای بدون سیستم EGR، رشد یون‌های واکنش‌دهنده با افزایش دمای سیلندر بهشدت افزایش می‌یابد. در موتورهای HCCI نیز رشد یون‌ها ضعیف است. بازگشت گازهای خروجی اگزوژن با وجود درجه حرارت پایین در فرایند HCCI به طور قابل توجهی باعث افزایش رشد یون‌ها می‌شود، به خصوص در درصدهای بالای EGR این افزایش بسیار مشهود است. نتایج حاصل از تحقیقاتی که شامل تجزیه و تحلیل اثر EGR بر شیمی یونی و شیمی خودآشتعالی است،<sup>[۲۵]</sup> درک مناسبی از چگونگی تأثیر EGR بر افزایش تولید یون‌ها ارائه می‌دهد. این تحقیقات نشان می‌دهد که نزدیکی از غلطت واکنش‌دهنده هاست به شدت به درجه حرارت بستگی دارد. اثر را می‌توان تا حد زیادی به افزایش قابل توجه غلطت مولکول‌های CH نسبت داد. غلطت بیشتر مولکول‌های CH نزدیکی از درجه حرارت است و رشد یون‌ها بهتر ازرات EGR در غلطت یون کمک می‌کند تا طراحی بهتری برای دستگاه‌های یونی بهمنظور اندازه‌گیری زمان‌بندی احتراق در موتورهای HCCI ارائه شود.

محققین با استفاده از یک پمپ هوا برای برگشت گازهای خروجی از اگزوژن به داخل سیلندر در یک موتور دیزل، دودهای خروجی از موتور را به طور قابل توجهی کاهش دادند.<sup>[۲۶]</sup> آنان همچنین با استفاده از ژئاتور جت هوا شرایط کاهش اکسیدهای نیتروزن و دودهای خروجی از موتور را بررسی کردند.<sup>[۲۷]</sup> در مطالعه‌ی دیگر<sup>[۲۸]</sup> با تزریق گاز فشار بالا مطالعاتی برای کنترل اختلاط در سیلندر یک موتور CI انجام شد. همچنین با استفاده از یک مدل چندمنظقه‌ی پیش‌بینی مناسبی از عملکرد موتور HCCI ارائه شده است.<sup>[۲۹]</sup> تأثیر تغییرات میزان لیفت سوپاپ ورودی و خروجی بر عملکرد موتور HCCI بررسی، و با به دام انداختن گازهای خروجی در داخل سیلندر نوعی سیستم EGR ایجاد شده است.<sup>[۲۰]</sup>

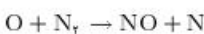
### ۳. شرایط حاکم

تجزیه و تحلیل قانون اول توسط یک مدل دینامیک سیالات محاسباتی انجام گرفته و محفظه ای احتراق موتور HCCI به عنوان یک منطقه‌ی ترمودینامیکی با فرض شرایط ترمودینامیکی یکنواخت در نظر گرفته شده است. فرض براین است که تمامی گونه‌ها

### ۲. مدل

در مطالعه‌ی حاضر از نرم‌افزار شبیه‌سازی AVLFire بهمنظور تولید یک مدل

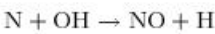
در معادله‌ی ۴،  $S_p$  سرعت متوسط پیستون است و  $P_r$  و  $T_r$  بهترین عبارت‌اند از: دما، فشار و حجم در لحظه‌ی بسته شدن سوپاپ ورودی (IVC). همچنین  $V_d$  حجم جایه‌جایی است و  $P_{mot}$  بهترین نشان‌گر فشار آنی و فشار موتور در لحظه‌ی اشتغال‌اند.  $C_1$  و  $C_2$  نیز مقادیر ثابت‌اند. در این معادلات سازوکار شیمیایی جنبشی با ۱۵۵ گونه و ۶۸۹ واکنش به مظور توصیف احتراق گاز متان در نظر گرفته می‌شود. برای پیش‌بینی انتشار  $\text{NO}_x$  از سازوکار Zeldovich استفاده شده که واکنش‌های بنیادی ۵ را در نظر می‌گیرد.<sup>[۲۱]</sup>



$$k_1 = 1/8 \times 10^{10} \exp\left(-318 \text{ kJ.mol}^{-1}/(RT)\right) \text{ cm}^3/(\text{mol.s}) \quad (5)$$



$$k_2 = 1/8 \times 10^{10} \exp\left(-27 \text{ kJ.mol}^{-1}/(RT)\right) \text{ cm}^3/(\text{mol.s}) \quad (6)$$

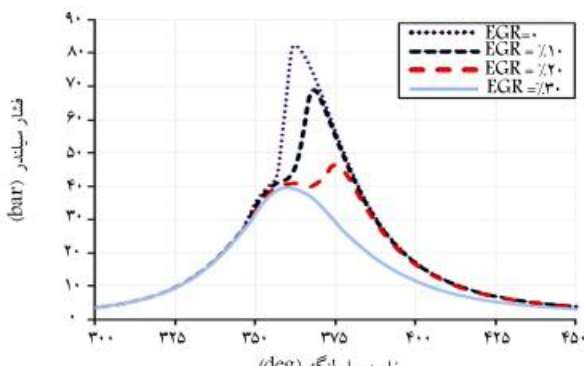


$$k_3 = 2/8 \times 10^{10} \exp\left(-27 \text{ kJ.mol}^{-1}/(RT)\right) \text{ cm}^3/(\text{mol.s}) \quad (7)$$

## ۴. نتایج و بحث

تحقیقات نشان داده است که موتورهای HCCI در بارهای کم عملکرد خوبی دارند اما در بارهای بالا، سرعت آزاد شدن گرمای منجر به افزایش نوسانات فشار به خصوص در مخلوط غنی‌تر سوخت می‌شود، چرا که خوداشتعالی به‌طور همزمان در سراسر محفظه‌ی احتراق رخ می‌دهد. بنابراین، تمام مخلوط در احتراق شرکت می‌کند که این نوع احتراق موجب ظهور پدیده‌ی کویش می‌شود. در همین راستا می‌توان با یازگشتن گازهای خروجی به داخل سیلندر، یا یا به دام انداختن این گازها در داخل سیلندر مخلوط سوخت را رقیق ساخت و با این پدیده مقابله کرد. این روش امکان کنترل احتراق HCCI را برای ما فراهم می‌سازد.<sup>[۲۲]</sup>

در شکل ۲ تأثیر EGR بر متوسط فشار سیلندر نشان داده شده است. چنان‌که مشاهده می‌شود با افزایش میزان EGR بیشینه فشار سیلندر کاهش می‌یابد. این عملکرد ناشی از کاهش اکسیژن شرکت‌کننده در فرایند احتراق است. با افزایش EGR به بیش از ۲۰٪، احتراق ناقص بیشتر نمایان می‌شود و با ادامه‌ی این روند و افزایش EGR به بیش از ۳۰٪، احتمال وقوع پدیده‌ی خفگی به شدت افزایش می‌یابد که ممکن است به حاموشی موtor و درنتیجه کاهش شدید توان موور بیانجامد. لذا



شکل ۲. تأثیر EGR بر فشار محفظه‌ی احتراق.

در ناحیه‌ی ترمودینامیکی را می‌توان به عنوان گاز ایده‌آل در نظر گرفت. تغییر سوخت در قسمت ورودی محفظه‌ی احتراق نادیده گرفته شده و فرض بر این است که کل مخلوط در فاز گاز است. علاوه بر این، برای متوسط دمای دیوارهای محفظه‌ی احتراق، انتقال حرارت هم‌رفتی بین منطقه و اطراف آن در نظر گرفته شده و برای تعیین نوع از حالت ترمودینامیکی مخلوط استفاده می‌شود. در جدول ۱ مشخصات فیزیکی موtor مورد نظر ارائه شده است.

– نرخ تغییرات دمای مخلوط:<sup>[۲۳]</sup>

$$\frac{dT}{dt} = \frac{-P \frac{dV}{dt} - \frac{dQ_w}{dt} - \sum_i \frac{dN_i}{dt} \overline{h_i} + R_u T \sum_i \frac{dN_i}{dt}}{\sum_i N_i c_{p,i} - N_{mix} R_u} \quad (1)$$

که در آن  $P$  فشار گاز داخل محفظه‌ی احتراق،  $N_i$  بهترین تعداد مول و گرمای ویژه مولی در فشار ثابت هستند.  $R_u$  ثابت جهانی گاز و  $V$  حجم سیلندر است، که در هر زاویه‌ی از میل لنگ با توجه به هندسه‌ی موtor محاسبه می‌شود.  $Q'_w$  حرارت مبادله شده بین گاز و دیوارهای سیلندر در واحد زمان است.<sup>[۲۴]</sup> معادله‌ی ۲ برای محاسبه‌ی حرارت مبادله شده کاربرد دارد:

$$Q'_w(t) = -h_c(t) A_s (T_g - T_w) \quad (2)$$

در رابطه‌ی انتقال حرارت (رابطه‌ی ۲) از ضریب تصحیح Woschni که مخصوص موتورهای HCCI است استفاده شده است. در این معادله  $A_s$  مساحت سطح سیلندر،  $T_g$  و  $T_w$  بهترین متوسط دمای گاز و متوسط دمای دیواره، و  $h_c$  نیز ضریب انتقال حرارت هم‌رفتی است. در این معادله برای ادامه‌ی محاسبه مقدار  $h_c$  مورد نیاز است؛ لذا رابطه‌ی ۳ برای محاسبه‌ی آن اعمال می‌شود.

– ضریب انتقال حرارت:

$$h_c(t) = \alpha_{scaling} L(t)^{1/4} P(t)^{1/8} T(t)^{1/3} \omega(t)^{1/8} \quad (3)$$

در معادله‌ی ۳، ارتفاع آنی سیلندر،  $T$  و  $P$  بهترین دمای گاز و فشار گاز و سرعت زاویه‌ی گاز و  $\alpha_{scaling}$  عامل پوسته پوسته شدن موتورهای با هندسه‌های مختلف است. همه‌ی پارامترهای دخیل در معادله‌ی ۳ به صورت تجربی محاسبه می‌شود ولی برای محاسبه‌ی  $\alpha$  از معادله‌ی ۴ استفاده می‌شود.

– سرعت زاویه‌ی گاز داخل سیلندر:

$$\omega(t) = C_1 S_p + \frac{C_2 V_d T_r}{6 P_r V_r} (p - P_{mot}) \quad (4)$$

جدول ۱. مشخصات موtor

F6L912Q	مدل
چهار زمانه، خنک کاری با هوا	نوع
۶ سیلندر خطی	تمداد سیلندر
$100 \times 120$ (mm)	طول کورس × قطر سیلندر
۵,۶۵ لیتر	حجم جایه‌جایی
۱۷	نسبت هم ارزی
ω شکل	تاج پیستون
۸۸ kW	(در $2800$ rpm) بیشینه توان
۳۴۵ (N/m)	(در $1650$ rpm) بیشینه گشتاور
۴	تمداد سو راخ نازل
$285$ (mm)	قطر سوراخ‌های نازل

شیب کمتری به صفر نزدیک می‌شود. علت آن است که در حالت  $EGR = 3\%$  فرایند بدون احتراق است و لذا مقداری از سوخت تسوخته در مراحل پایانی فرایند در اثر حرارت موجود به آرامی می‌سوزد و مقدار کمی حرارت آزاد می‌کند. با توجه به این شکل با افزایش درصد EGR مدت زمان احتراق افزایش می‌یابد و بنابراین حرارت بیشتری آزاد می‌شود؛ به عبارت دیگر مساحت زیر نمودار افزایش می‌یابد.

چون حرارت آزاد شده در چرخه بسته مورد نظر ازین نسی روید لذا کل حرارت آزاد شده در سیستم ذخیره می‌شود.

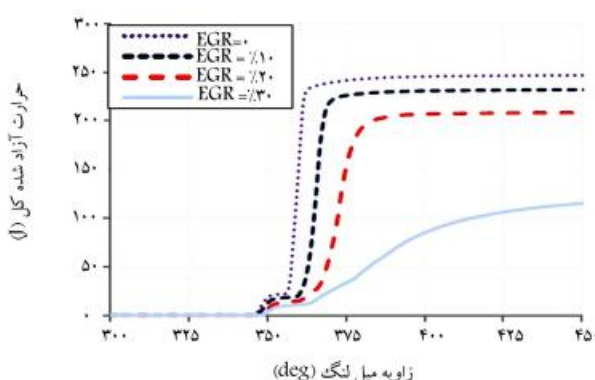
بررسی شکل ۵ نشان می‌دهد که حرارت آزادسازی کل در حالات دارای احتراق، مابین  $J = 20^{\circ}$  الی  $J = 25^{\circ}$  است که در مقایسه با نزخ آزادسازی حرارت از اختلاف کمتری برخوردار است. این عملکرد ناشی از مدت زمان احتراق است. با توجه به این شکل، در نقطه‌یی که شیب منحنی صفر می‌شود احتراق متوقف می‌شود اما مشاهده می‌شود که شیب نمودار در حالت  $EGR = 3\%$  همواره مشت است که ناشی از سوختن آرام سوخت‌های نسوخته و درنتیجه آزادسازی حرارت است.

چنان که در شکل ۶ مشاهده می‌شود، با افزایش درصد EGR میزان تولید آزادنده  $NO_x$  بهشت کاهش می‌یابد. این عملکرد ناشی از کاهش دمای احتراق در اثر شرکت گازهای برگشتی خروجی در فرایند احتراق است و با توجه به این که پیوند شیمیایی اکسیژن (O) و نیتروژن (N) در دماهای بالا رخ می‌دهد، کاهش دما مانع از تولید  $NO_x$  می‌شود. بنابراین سیستم EGR می‌تواند نقش مؤثری در کاهش آزادنده  $NO_x$  داشته باشد. تولید  $NO_x$  متناسب با نزخ آزادسازی حرارت افزایش می‌یابد و با اتمام احتراق، تولید  $NO_x$  تولید شده ازین نزفه و در سیستم ذخیره می‌شود. در حالت  $EGR = 3\%$  به دلیل نبود احتراق و نبود دمای بالا میزان  $NO_x$  تقریباً صفر است.

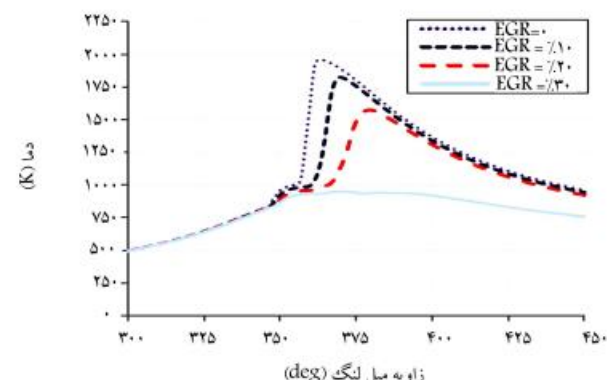
اعمال در یک محدوده معین قابل قبول خواهد بود که در صورت خروج از این محدوده موتور کارایی لازم را نخواهد داشت. با افزایش درصد EGR تمکن فشار پیک در نقطه‌ی مرگ بالا کاهش می‌یابد که متأثر از تأخیر در خوداشتعالی است. از آنجاکه دما و فشار رابطه‌ی مستقیمی با هم دارند (شکل‌های ۲ و ۳)، کاهش فشار به کاهش متوسط دمای سیلندر می‌اجتمد. این امر به دلیل احتراق ناقص ناشی از شرکت گازهای خروجی در احتراق HCCI است. با ایجاد احتراق ناقص بخشی از مخلوط هوا/سوخت بدون شرکت در فرایند احتراق و درنتیجه بدون تولید ارزی گرمایی از سیلندر خارج می‌شود.

از آنجاکه ایجاد رادیکال‌های آزاد و انتشار آنها نقش مهمی در فرایند خوداشتعالی مخلوط هوا/سوخت در موتورهای احتراق تراکمی سوخت همگن ایفا می‌کند، و نیز با توجه به این که سرعت انجام واکنش‌هایی که این رادیکال‌ها را تولید می‌کند بهشت به دما وابسته است و با کاهش دما کاهش چشمگیری می‌یابد، افزایش EGR با کاهش دما موجب تأخیر در خوداشتعالی می‌شود.

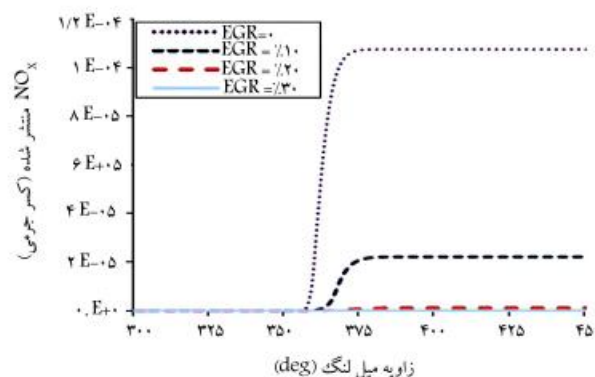
با توجه به شکل ۴ در نزدیکی BTDC  $15^{\circ}$  نزخ آزادسازی حرارت به میزان چند ژول افزایش می‌یابد و دوباره به صفر نزدیک می‌شود. در همین خصوص با توجه به دو شکل ۲ و ۳، دما و فشار نیز در این محدوده باشد بیشتری افزایش می‌یابد که این عملکرد نشان‌گر وقوع احتراقی ضعیف در این محدوده از فرایند HCCI است. در حالت بدون EGR این احتراق زودتر شروع شده و بیشترین حرارت را نسبت به حالت با EGR تولید می‌کند که نشان‌گر شرایط مناسبتر برای احتراق در حالت بدون EGR است. همچنین با توجه به این شکل نزخ آزادسازی حرارت دارای بیشترین مقدار خود در حالت بدون EGR است. مشاهده می‌شود که در مرحله‌ی پس از احتراق، منحنی حالت  $EGR = 3\%$  همواره بیشتر از سایر حالات است و با



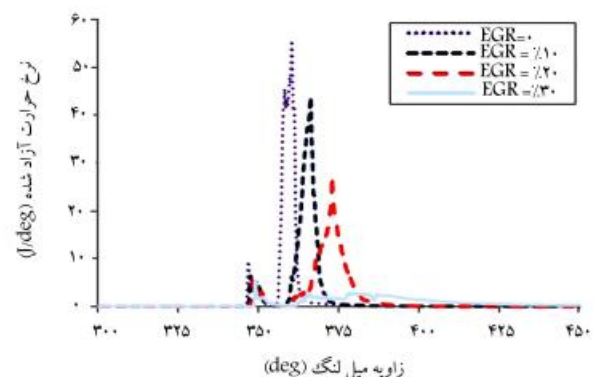
شکل ۵. تأثیر EGR بر حرارت آزاد شده کل.



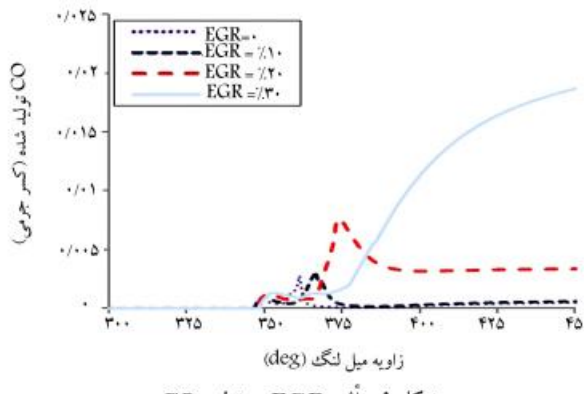
شکل ۳. تأثیر EGR بر متوسط دمای محفظه احتراق.



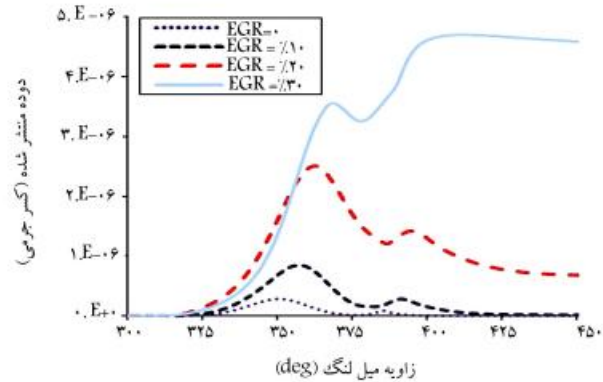
شکل ۶. تأثیر EGR بر تولید  $NO_x$ .



شکل ۴. تأثیر EGR بر نزخ آزادسازی حرارت.



شکل ۹. تأثیر EGR بر تولید CO.



شکل ۷. تأثیر EGR بر تولید دوده.

در شکل ۱۰ فضای داخل سیلندر در درصدهای مختلفی از EGR نشان داده شده است. در این شکل تأثیر EGR بدقتیب از سمت چپ بر دمای محفظه ای احتراق، تولید آلاینده  $\text{NO}_x$ ، تولید دوده و توربولاس مورد بررسی قرار می‌گیرد. (۱۰° ATDC) محیط داخل سیلندر در موقعیت ۱۰° بعد از نقطه مرگ بالا (۱۰° ATDC) مورد بررسی قرار گرفته است. ستون مربوط به تغیرات دمایی نشان می‌دهد که متوسط دمای محفظه ای احتراق با افزایش درصد EGR افت می‌کند. با توجه به این شکل مشخص می‌شود که بیشترین تمرکز دمایی در تمامی حالت، در فضای بالای سیلندر و در نزدیکی دیواره صورت می‌گیرد.

ستون مربوط به تولید آلاینده  $\text{NO}_x$  نشان می‌دهد که با افزایش درصد EGR میزان  $\text{NO}_x$  تولیدی کاهش می‌یابد. با توجه به توضیحات ارائه شده برای تغیرات دمایی، پیش‌بینی می‌شود که تولید این آلاینده در فضای بالای سیلندر و در نزدیکی دیواره صورت گیرد، زیرا تمرکز دمایی در این ناحیه صورت می‌گیرد و چون  $\text{NO}_x$  در دماهای بالا تولید می‌شود لذا این عملکرد طبیعی به نظر می‌رسد.

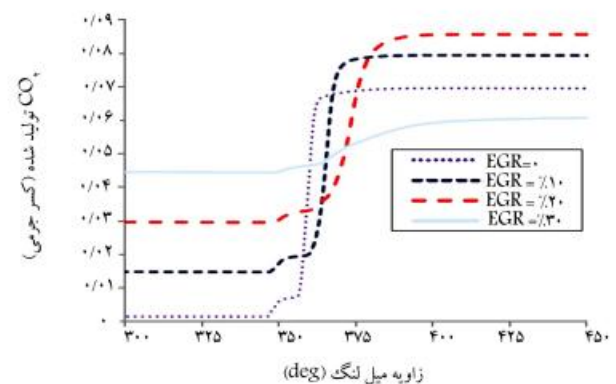
ستون مربوط به تولید  $\text{O}_2$  نشان می‌دهد که با افزایش درصد EGR میزان اکسیژن موجود در سیلندر کاهش می‌یابد. با توجه به این شکل، میزان اکسیژن در فضای بالای سیلندر و در نزدیکی دیواره کمترین مقدار خود را دارد و با افزایش درصد EGR میزان این گونه در ناحیه موردنظر تقریباً صفر می‌شود. وقوع این پدیده به دلیل تمرکز دمایی بالا در این ناحیه است.

ستون مربوط به ازیزی جنبشی توربولاس نشان می‌دهد که با افزایش درصد EGR تمرکز این ازیزی کاهش می‌یابد. این عملکرد ناشی از کاهش دما بر اثر افزایش میزان گازهای برگشتی است.

## ۵. نتیجه‌گیری

هدف از این مطالعه بررسی تأثیر بازنگشت گازهای خروجی حاصل از احتراق به داخل سیلندر به منظور کنترل احتراق HCCI در موتور مدل Deutz و افزایش کارایی این نوع موتور است.

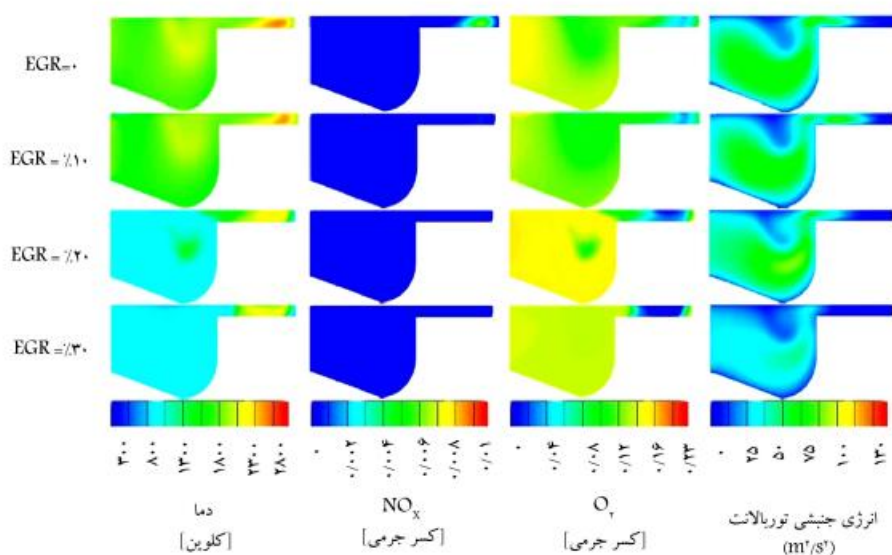
- بررسی‌ها نشان می‌دهد با افزایش میزان EGR بیشینه فشار سیلندر کاهش پیدا می‌کند. با عبور درصد EGR از یک محدوده خاص احتراق ناقص بیشتر نمایان می‌شود و با ادامه‌ی این روند و عبور از این محدوده احتمال وقوع پدیده‌ی خفگی به شدت افزایش می‌یابد. لذا اعمال EGR در محدوده‌ی معین قابل قبول خواهد بود.

شکل ۸. تأثیر EGR بر تولید  $\text{CO}_2$ .

در شکل ۷ میزان تولید دوده در درصدهای مختلف EGR نشان داده شده است. چنان که مشاهده می‌شود با افزایش درصد EGR میزان دوده‌ی تولید شده افزایش می‌یابد و این به دلیل تولید احتراق ناقص بر اثر شرکت گازهای خروجی از موتور در فرایند احتراق است. با توجه به شکل ۷ بیشترین مقدار دوده در موقعیت دور از نقطه مرگ بالا و زمان احتراق، در محدوده ۱۲۰° BTDC تولید می‌شود که بیانگر احتراق ناقص سوخت در این محدوده است. در حالت  $EGR = 30\%$  چون سوخت نسخته تا پایان فرایند به صورت ناقص می‌سوزد، همواره تولید دوده وجود دارد و میزان آن افزایش می‌یابد.

در شکل ۸ میزان تولید  $\text{CO}_2$  در درصدهای مختلف EGR نشان داده شده است. با توجه به این شکل مشخص می‌شود با افزایش EGR میزان تولید  $\text{CO}_2$  کاهش می‌یابد چرا که با افزایش میزان گازهای برگشتی، مخلوط هوا/سوخت کمتری به سیلندر می‌رسد. بنابراین با کموده اکسیژن،  $\text{O}_2$  در واکنش‌های شیمیایی قوی تر شرکت می‌کند. به عبارت دیگر تشکیل  $\text{CO}_2$  برای مولکول‌های اکسیژن در اولویت‌های بعدی قرار دارد و از همین رو میزان تولید این آلاینده کاهش می‌یابد. از طرفی با افزایش درصد EGR میزان  $\text{CO}_2$  ورودی به داخل سیلندر در ابتدای فرایند افزایش می‌یابد که این پدیده با توجه به ماهیت سیستم EGR طبیعی به نظر می‌رسد.

در شکل ۹ میزان تولید CO در درصدهای مختلف EGR نشان داده شده است. مشاهده می‌شود که با افزایش درصد EGR میزان CO افزایش می‌یابد. با توجه به توضیحات قبل می‌توان گفت اکسیژن موجود با مولکول‌های کربن واکنش داده و چون به دلیل شرکت گازهای خروجی در فرایند احتراق HCCI کمیود مولکول اکسیژن وجود دارد، لذا مولکول‌های کربن صرفاً با یک مولکول اکسیژن واکنش می‌دهند که این عملکرد موجب افزایش شدید آلاینده CO در خروجی موتور می‌شود.



شکل ۱۰. ویژگی دما،  $\text{NO}_x$  تولیدی، اکسیژن شرکت کننده و انرژی جنبشی توربولانس در فضای داخل سیلندر در موقعیت ۱۰ درجه پس از نقطه مرگ بالا (۱۰° ATDC).

- نرخ حرارت آزاد شده در درصد های مختلف از EGR نشان می دهد که احتراق در زمان های متفاوتی روی می دهد. با افزایش درصد EGR میزان الایندہ  $\text{NO}_x$  خروجی از سیلندر به شدت کاهش می یابد. بنابراین سیستم EGR می تواند اثر مطلوبی بر کاهش الایندہ  $\text{NO}_x$  داشته باشد.
- با افزایش درصد EGR و به دلیل تولید احتراق ناقص، میزان دودهای تولید شده افزایش می یابد.
- افزایش EGR موجب کاهش میزان تولید  $\text{CO}_2$  می شود؛ همچنین با افزایش درصد EGR میزان CO افزایش می یابد.
- افزایش میزان EGR همچنین باعث کاهش دمای سیلندر می شود. با ایجاد احتراق ناقص بخشی از مخلوط هوا/سوخت بدون شرکت در فریلن احتراق و درنتجه بدون تولید انرژی گرمایی از سیلندر خارج می شود. افزایش میزان EGR موجب کاهش مقدار حرارت آزاد شده می شود که ناشی از احتراق ناقص است؛ ولی حتی با ظاهر شدن پدیده خنگی – به دلیل افزایش دما بر اثر افزایش تراکم – همچنان حرارت آزاد شده سیر صعودی طی می کند. درنتجه حتی در صورت عدم وجود احتراق، حرارت آزاد خواهد شد. قابل ذکر است بیشترین نرخ حرارت آزاد شده در حالت بدون EGR است.

## پانوشت‌ها

- computational fluid dynamic (CFD)
- homogeneous charge compression ignition (HCCI)
- exhaust gas recirculation (EGR)
- compression ignition (CI)
- spark ignition (SI)
- indicated mean effective pressure (IMEP)
- before top dead center (BTDC)
- after top dead center (ATDC)
- crank angle degree (CAD)

## منابع (References)

- Sher, E. and Bar-Kohany, T. "Optimization of variable valve timing for maximizing performance of an unthrot-

tled SI engine-a theoretical study", *Energy*, **27**, pp. 757-75 (2002).

- Iwazaki, K., Amagai, K. and Arai, M. "Improvement of fuel economy of an indirect injection (IDI) diesel engine with two-stage injection", *Energy*, **30**, pp. 447-59 (2005).
- Papagiannakis, R.G. and Hountalas, D.T. "Combustion and exhaust emission characteristics of a dual fuel compressionignition engine operated with pilot diesel fuel and natural gas", *Energy Convers Manage*, **45**, pp. 297-187 (2004).
- Mardi Kolue, M., Khalilarya, Sh. and Nemati, A. "A numerical investigation on the influence of EGR in a super charged SI engine fueled with gasoline and alternative fuels", *Energy Conversion and Management*, **83**, pp. 260-269 (2014).
- Shi, L., Cui, Y., Deng, K., Peng, H. and Chen, Y. "Study of low emission homogeneous charge compression ignition (HCCI) engine using combined internal and exter-

- nal exhaust gas recirculation (EGR)", *Energy*, **31**, pp. 2665-2676 (2006).
6. Zhao, H., Peng, Z., Williams, J. and Ladommatos, N. "Understanding the effects of recycled burnt gases on the controlled autoignition (CAI) combustion in four-Stroke Gasoline Engines", SAE Technical Paper 2001-01-3607 (2001).
  7. Harada, A., Shimazaki, N., Sasaki, S., Miyamoto, T., Akagawa, H. and Tsujimura, K. "The effects of mixture formation on premixed lean diesel combustion engine", SAE Technical Paper 980533 (1998).
  8. Junjun, M., Xingcai, L., Libin, J. and Zhen, H. "An experimental study of HCCI-DI combustion and emissions in a diesel engine with dual fuel", *International Journal of Thermal Sciences*, **47**, pp. 1235-1242 (2008).
  9. Canakci, M. "Combustion characteristics of a DI-HCCI gasoline engine running at different boost pressures", *Fuel*, **96**(1), pp. 546-555 (2012).
  10. Olsson, J.-O., Tunestål, P., Ulfvik, J. and Johansson, B. "The effect of cooled EGR on emissions and performance of a turbocharged HCCI engine", Society of Automotive Engineers, Inc. 2003-01-0743 (2003).
  11. Richter, M., Engström, J., Franke, A., Aldén, M., Hultqvist, A. and Johansson, B. "The influence of charge inhomogeneity on the HCCI combustion process", SAE Technical Paper 2000-01-2868 (2000).
  12. Urushihara, T., Hiraya, K., Kakuhou, A. and Itoh, T. "Expansion of HCCI operating region by the combination of direct fuel injection, negative valve overlap and internal fuel reformation", SAE Technical Paper 2003-01-0749 (2003).
  13. Aroonsrisopon, T., Werner, P., Waldman, J.O., Sohm, V., Foster, D.E. Morikawa, T. and Iida, M. "Expanding the HCCI operation with the charge stratification", SAE Technical Paper 2004-01-1756 (2004).
  14. Mehresh, P., Dibble, R. and Flowers, D. "EGR effect on Ion signal in HCCI engines", SAE Technical Paper 2005-01-2126, doi: 10.4271/2005-01-2126 (2005).
  15. Kawazoe, H., Nagano, S., and Ohsawa, K. "Reduction of soot emission by air-jet turbulence generator with cam in a diesel engine", *JSAE Review*, **12**(3), pp. 69-72 (1991).
  16. Nagano, S., Kawazoe, H. and Ohsawa, K. "Reduction of soot emission by air-jet turbulence in a DI diesel engine", SAE paper 912353 (1991).
  17. Choi, C.Y. and Foster, D.E. "In cylinder augmented mixing through controlled gaseous jet injection", SAE Technical Paper 952358 (1995).
  18. Neshat, E. and Khoshbakhti Saray, R. "Effect of different heat transfer models on HCCI engine simulation", *Energy Conversion and Management*, **88**, pp. 1-14 (2014).
  19. Cinar, C., Uyumaz, A., Solmaz, H. and Topgul, T. "Effects of valve lift on the combustion and emissions of a HCCI gasoline engine", *Energy Conversion and Management*, **94** pp. 159-168 (2015).
  20. Kirchen, P., Shahbakhti, M. and Koch, C.R. "A skeletal kinetic mechanism for PRF combustion in HCCI engines", *Journal of Combustion Science and Technology*, **179**(6), pp. 1059-1083 (2007).
  21. Merker, G.P. Schwarz, C. Stiesch, G. and Otto, F., *Simulating Combustion: Simulation of Combustion and Pollutant Formation for Engine-Development*, Spring, Heidelberg, Germany (2006).
  22. Zeldovich, Y.B., Sadovnikov, P.Y. and Frank-Kamenetskii, D.A., *Oxidation of Nitrogen in Combustion*, Shelef M, Trans., Moscow-Leningrad: Academy of Sciences of USSR, Institute of Chemical Physics (1947).
  23. Dec, J. "Computational study of the effect of low fuel loading EGR on heat releaserates and combustion limits in HCCI engines", SAE Technical Paper 2002-01-1309 (2002).
  24. Heywood, J.B., *Internal Combustion Engines Fundamentals*, McGraw-Hill (1988).